

**А. В. Лихачев***(Новосибирск)***СРАВНЕНИЕ АЛГОРИТМА ФЕЛЬДКАМПА  
С АЛГОРИТМОМ СИНТЕЗА ФУРЬЕ  
ДЛЯ ТРЕХМЕРНОЙ ТОМОГРАФИИ**

Для проекционной геометрии с источником, движущимся по окружности, предложен новый алгоритм послойной реконструкции, основанный на методе фурье-синтеза. Оценка времени реконструкции этим алгоритмом на сетке  $N \times N \times N$  по  $M$  проекциям составляет  $O(MN^2 \log_2 N)$ , что в  $O(N / \log_2 N)$  раз меньше, чем оценка для классической реализации алгоритма Фельдкамп. Вычислительный эксперимент показал, что алгоритм Фельдкамп уступает по точности методу послойного фурье-синтеза в случае относительно небольшого радиуса окружности движения источника (3–8 радиусов области реконструкции). Однако алгоритм Фельдкамп оказался более устойчивым к шумам в проекционных данных.

**Введение.** Томографические методы реконструкции внутренней структуры объектов широко используются в медицине, некоторых отраслях промышленности, а также при проведении физических исследований. Первичные сведения о томографии можно получить, например, из работы [1], где в доступной форме изложены ее физические и математические основания. Более строгое изложение математического аппарата содержится в [2, 3].

Рассмотрим трансмиссионную рентгеновскую томографию – восстановление внутренней структуры твердых тел путем зондирования проникающим излучением. Классический подход к решению этой задачи состоит в том, что измерения производятся в одной плоскости при помощи линейных детекторов и по этим данным реконструируется слой объекта. Система регистрации смещается вдоль некоторой оси, что позволяет последовательно восстанавливать слои, перпендикулярные ей. В частности, отсюда происходит термин «томография» (tomos по-латински означает слой). Однако с течением времени способы сбора проекционных данных изменились, что, в свою очередь, привело к появлению новых методов томографической реконструкции. Все чаще измерения производятся при помощи плоских двумерных детекторов или матриц детекторов. Именно такая схема регистрации данных рассматривается в предлагаемой работе.

Обычно (в том числе и в данной работе) принимается приближение лучевой томографии, согласно которому каждому измерению ставится в соответ-

стве интеграл от искомого распределения вдоль некоторой прямой. Для задачи трансмиссионной рентгеновской томографии лучевое приближение будет удовлетворяться, если детекторы хорошо коллимированы и основным видом взаимодействия излучения с веществом является поглощение. Пусть исследуемый объект зондируется посредством источника, дающего широкий расходящийся пучок. Определим двумерную конусную проекцию как распределение интенсивности прошедшего излучения по поверхности детектора. В приближении лучевой томографии уравнение конусной проекции записывается следующим образом:

$$f_s(\mathbf{q}) \equiv \ln \left( \frac{I_0}{I(\mathbf{q})} \right) = \int_a^b g(\mathbf{S} + p\mathbf{n}) dp, \quad (1)$$

$$\mathbf{q} = (r_s + r_d) \left( \frac{\mathbf{S}}{r_s} - \frac{\mathbf{n}}{|\cos(\mathbf{S}, \mathbf{n})|} \right).$$

Здесь  $g(\mathbf{r})$ ,  $\mathbf{r} \in R^3$ , – распределение коэффициента поглощения зондирующего излучения объектом;  $\mathbf{S}$  – точка, в которой расположен источник излучения;  $I_0$  – интенсивность излучения;  $r_s$  и  $r_d$  – расстояния от начала координат до источника и детектора соответственно. Через  $I(\mathbf{q})$  обозначена интенсивность, зарегистрированная на детекторе в точке, имеющей на нем двумерную координату  $\mathbf{q}$ . Вектор  $\mathbf{n}$  задает направление из источника на эту точку;  $(\mathbf{S}, \mathbf{n})$  – угол между векторами  $\mathbf{S}$  и  $\mathbf{n}$ . Интегрирование ведется по участку луча, проходящему внутри объекта. Определение конусной проекции поясняет рис. 1.

Пусть источник движется по окружности радиуса  $r_s$  в плоскости  $z = 0$ . Напротив источника по другую сторону объекта находится двумерный детектор, который синхронно движется вместе с источником. Вращение систе-

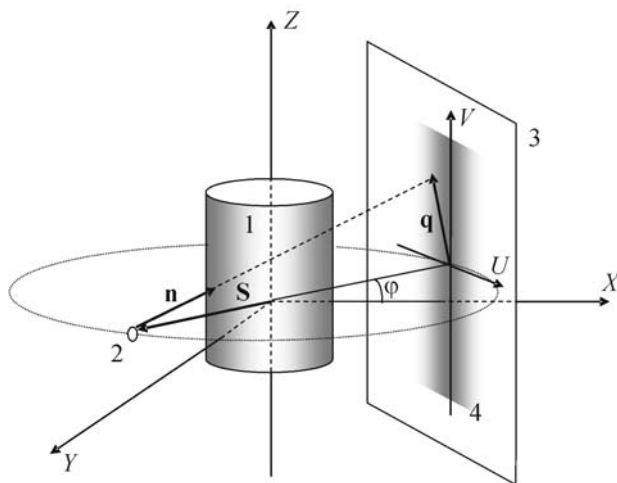


Рис. 1. Схема получения двумерной конусной проекции (1 – исследуемый объект, 2 – источник зондирующего излучения, 3 – детектор, 4 – проекция)

мы источник – детектор вокруг объекта обеспечивает просвечивание последнего под различными углами. Плоскость, в которой лежит поверхность детектора, параллельна оси  $Z$ . Такая схема измерений в силу своей простоты часто реализуется в медицинском и промышленном томографическом оборудовании, поэтому разработка алгоритмов реконструкции по проекционным данным, зарегистрированным при движении источника по окружности, вызывает большой интерес. Одним из возможных методов является разбиение трехмерной задачи на ряд двумерных. А именно производится двумерная реконструкция искомой функции в плоскостях, перпендикулярных оси  $Z$ , так же, как и для упомянутой выше схемы регистрации, при помощи линеек детекторов. Достоинства и недостатки этого подхода будут обсуждаться в разд. 1.1. Исследуемый в данной работе алгоритм послойного фурье-синтеза относится к этому классу методов.

Другой подход к решению рассматриваемой задачи томографии – проведение полной трехмерной реконструкции [4–7]. В работе [8] был предложен алгоритм, получивший впоследствии широкое распространение. В алгоритме Фельдкамп проекции фильтруются в двух направлениях, затем производится трехмерное обратное проецирование (см. разд. 1.2), что обеспечивает достаточно высокое качество восстановления, но требует больших затрат времени компьютерного счета. В связи с этим значительное внимание уделяется созданию быстродействующих модификаций алгоритма Фельдкамп [9–11]. Так в [9] было предложено ускорение процедуры обратного проецирования, основанное на разбиении области реконструкции на подобласти. Ряд работ посвящен исследованию возможных обобщений, связанных с усложнением способа сбора проекционных данных. В частности, в [12] разработан вариант алгоритма Фельдкамп для так называемой бифокальной проекционной геометрии. В представленной работе алгоритм Фельдкамп сравнивается с предлагаемым алгоритмом послойного фурье-синтеза.

**1. Описание алгоритмов.** В пределе при бесконечном числе измерений задача томографической реконструкции, описанная во введении, с математической точки зрения сводится к обращению частного случая интегрального преобразования, называемого лучевым конусным преобразованием. Пусть  $K$  – некоторая кривая в  $R^3$ , по которой движется источник. Лучевое конусное преобразование ставит в соответствие каждой быстроубывающей на  $R^3$  функции набор ее интегралов на множестве лучей  $K \otimes S^2$ , где  $S^2$  – единичная сфера в  $R^3$ . В общем виде оно изучалось Кирилловым [13]. В работе [4] результаты Кириллова были использованы Туем для получения формулы обращения конусного преобразования. При этом носитель функции  $g(\mathbf{r})$  предполагается финитным, а на кривую  $K$  накладывается ряд условий. В частности, требуется, чтобы любая плоскость, пересекающая носитель  $g(\mathbf{r})$ , также пересекала кривую  $K$ .

Окружность не удовлетворяет условиям Кириллова – Туя, поэтому для такой проекционной геометрии, вообще говоря, нельзя использовать формулу, выведенную Туем. В настоящее время для томографической реконструкции по данным, полученным при движении источника по окружности, используются итерационные алгебраические алгоритмы [1], упомянутый выше алгоритм Фельдкамп, а также методы послойной реконструкции. В данной работе для рассматриваемой проекционной геометрии предложен алгоритм послойного восстановления, основанный на преобразовании Фурье. Разработанный алгоритм сравнивается с алгоритмом Фельдкамп,

который также является приближенным, хотя строится на принципах, отличных от послойного восстановления.

1.1. *Послойная реконструкция. Алгоритм фурье-синтеза.* Если радиус окружности, по которой движется источник, достаточно велик по сравнению с размером объекта вдоль оси  $Z$ , то задачи реконструкции слоев объекта, перпендикулярных этой оси, можно считать независимыми. Таким образом, полное трехмерное восстановление распадается на ряд двумерных, причем для реконструкции слоя с координатой  $z_k$  служат данные, полученные при пересечении плоскостей, в которых производится детектирование, с плоскостью  $z = z_k$ . Значение двумерной проекции на линии пересечения будем называть одномерной проекцией. Привлекательность такого подхода состоит в том, что он позволяет сократить время компьютерного счета.

Рассмотрим сначала случай, когда двумерная реконструкция в каждом слое производится посредством какого-либо алгоритма обратного проецирования с фильтрацией [1]. Одномерные проекции обрабатываются при помощи некоторого фильтра (об одном из них будет сказано в разд. 1.2, систематически процедура фильтрации проекций изложена в [1–3]). Затем производится обратное проецирование. При численной реализации оно сводится к тому, что для каждого узла двумерной сетки, на которой реконструируется сечение функции  $g$ , на носителе каждой из проекций находится соответствующая ей точка, и значения проекций в найденных точках суммируются. В послойных алгоритмах координаты этих точек, определенные для одного слоя, используются в дальнейшем при реконструкции любого из слоев, что приводит к существенному ускорению полного восстановления трехмерного объекта.

Недостатком вышеописанного подхода является то, что приходится сохранять в оперативной памяти компьютера большие объемы информации, по крайней мере  $N^2 \times M$  чисел, где  $N^2$  – количество узлов в одном слое сетки, на которой вычисляется функция  $g$ ;  $M$  – количество проекций. Отметим, что в современных практических приложениях томографии числа  $N$  и  $M$  могут достигать нескольких тысяч и более. Предлагаемый здесь способ решения задачи, основанный на методе фурье-синтеза, не требует хранения столь больших массивов информации.

Метод фурье-синтеза основан на так называемой центральной проекционной теореме [2]. Она имеет место для параллельной геометрии регистрации данных, т. е. когда источник излучения удален на бесконечность. Для двумерного случая эта теорема записывается следующим образом:

$$F_2 g(\omega_x, \omega_y) \Big|_{\omega_y = \omega_x \operatorname{tg} \varphi} = F f_\varphi(\omega), \quad (2)$$

где  $F$  – преобразование Фурье, определенное согласно уравнению

$$F f(\omega) = \int_{-\infty}^{+\infty} f(x) e^{-2\pi i x \omega} dx. \quad (3)$$

Выражение (2) означает, что сечение двумерного фурье-образа функции прямой, проходящей через начало координат и имеющей угол наклона  $\varphi$ , равно фурье-образу ее одномерной проекции, зарегистрированной под тем же углом  $\varphi$ .

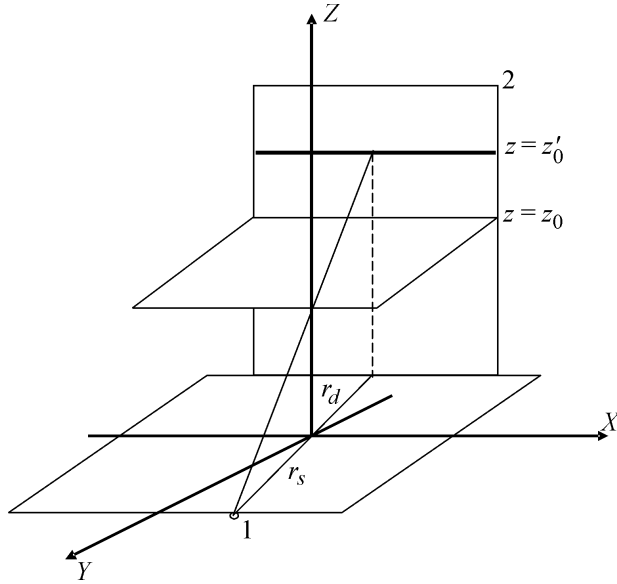


Рис. 2. Положение одномерной проекции для реконструкции слоя  $z = z_0$

Принцип построения двумерного алгоритма фурье-синтеза следующий. На первом шаге вычисляются фурье-образы всех известных одномерных проекций. При этом согласно центральной проекционной теореме получается фурье-образ искомой функции, заданный на сетке в полярных координатах. Далее производится его интерполяция на двумерную сетку в декартовых координатах, после чего искомая функция реконструируется путем обратного двумерного преобразования Фурье. Заметим, что если обратное преобразование Фурье производить непосредственно в полярных координатах, то подынтегральную функцию нужно умножать на  $|\omega|$ , в результате чего по существу получается алгоритм, принадлежащий уже к другому классу, а именно к классу методов обратного проецирования с фильтрацией.

Вернемся к рассматриваемой задаче томографии с источником, движущимся по окружности. В этом случае одномерные проекции не являются параллельными. Более того, не существует такого набора одномерных проекций, по которому можно провести реконструкцию методом фурье-синтеза в какой-либо плоскости, перпендикулярной оси  $Z$ , за исключением плоскости  $z = 0$ . В разработанном алгоритме эти проблемы решаются следующим образом. Для реконструкции слоя  $z = z_0$  берутся одномерные проекции, полученные в результате сечения плоскостей, в которых производится регистрация, плоскостью  $z = z'_0 = (r_s + r_d) z_0 / r_s$  (рис. 2). Выбор таких проекций представляется более естественным, чем, например, проекций, образованных в сечении плоскостью  $z = z_0$ , поскольку в этом случае восстанавливаемая функция меньше «растягивается» вдоль оси  $Z$ . Полученные проекционные данные  $f_{z=z'_0}(\varphi, U)$  параллелизуются согласно уравнениям

$$f_{z=z'_0}(\varphi, U) \rightarrow f_{z=z'_0}^{\parallel}(\varphi', U');$$

$$\varphi' = \varphi + \operatorname{arctg}\left(\frac{U}{r_s + r_d}\right); \quad (4)$$

$$U' = r_s \sin\left(\operatorname{arctg}\left(\frac{U}{r_s + r_d}\right)\right).$$

В (4) через  $U, U'$  обозначена координата на детекторе, перпендикулярная оси  $Z$ ;  $\varphi$  – азимутальный угол, которым определяется положение источника и детектора. Набор параллельных проекций  $f_{z=z_0}^{\parallel}(\varphi', U')$  используется для реконструкции слоя  $z = z_0$  методом Фурье-синтеза.

1.2. *Алгоритм Фельдкампа.* Как было указано выше, алгоритм Фельдкампа является лишь приближенным. Его можно отнести к классу трехмерных методов обратного проецирования с фильтрацией. Согласно [8] он определяется следующими уравнениями:

$$g(x, y, z) = \frac{1}{4\pi^2} \int_0^{2\pi} \frac{(r_s + r_d)^2 \tilde{f}(\varphi, U(x, y, z), V(x, y, z))}{(r_s + r_d + x \cos \varphi + y \sin \varphi)^2} d\varphi, \quad (5)$$

где

$$U(x, y, z) = \frac{(r_s + r_d)(y \cos \varphi - x \sin \varphi)}{(r_s + x \cos \varphi + y \sin \varphi)}; \quad (6)$$

$$V(x, y, z) = \frac{(r_s + r_d)z}{(r_s + x \cos \varphi + y \sin \varphi)},$$

$$\tilde{f}(\varphi, U, V) = \int_{-\infty}^{+\infty} dU' \Phi_U(U - U') \int_{-\infty}^{+\infty} dV' \frac{r_s^2 \Phi_V(V - V') f(\varphi, U', V')}{(r_s + r_d) \sqrt{(r_s + r_d)^2 + U'^2 + V'^2}}, \quad (7)$$

$$\Phi_U(U) = \int_0^{\omega_{U_0}} \omega \exp(i\omega U) d\omega; \quad (8)$$

$$\Phi_V(V) = \frac{\sin(\omega_{V_0} V)}{\pi V}.$$

Здесь  $\omega_{U_0}$  и  $\omega_{V_0}$  – константы, влияние которых будет обсуждаться далее. При  $r_s \rightarrow \infty$  алгоритм (5)–(8) переходит в послойную формулу обращения для параллельного случая. Кроме того, уравнения (5)–(8) дают точное значение функции  $g(x, y, z)$  в плоскости  $z = 0$  при любом расстоянии до источника.

Уравнение (5) представляет собой обратное проецирование фильтрованных двумерных проекций  $\tilde{f}(\varphi, U, V) \Big|_{\varphi = \text{const}}$ . Фильтрация производится посредством свертки с функциями  $\Phi_U(U)$  и  $\Phi_V(V)$ . В представленной работе фильтрация реализована исходя из следующего. Алгоритм (5)–(8) дает точное решение при удалении источника на бесконечность. В этом случае трехмерная задача разбивается на двумерные в плоскостях, перпендикулярных оси  $Z$ . Следовательно, при  $r_s \rightarrow \infty$   $\Phi_V(V)$  должна обладать свойствами  $\delta$ -функции, чего можно достичь, положив  $\omega_{V_0} \rightarrow \infty$ . При этом свертка с  $\Phi_U(U)$  должна обеспечивать реконструкцию в плоскости. Известно, что такой функцией является обратное преобразование Фурье от  $|\omega|$  [2], так называемый гагр-фильтр. Формально в (8) этому соответствует  $\omega_{U_0} = \infty$ . Существует много численных реализаций гагр-фильтра. В данной работе он выполнен как фильтр Шеппа – Логана [14]. Его дискретная запись имеет вид

$$\Phi_U(U_i) = \frac{1}{\pi^2 h_U^2} \frac{1}{1 - 4i^2}, \quad i = 0, \pm 1, \pm 2, \dots, \quad (9)$$

где  $h_U$  – шаг сетки по переменной  $U$ . Фильтр (9) получается из (8) при  $\omega_{U_0} = \pi/h_U$ .

При конечном расстоянии до источника в выборе значения величины  $\omega_{V_0}$  остается некоторая степень свободы. Заметим, что от  $\omega_{V_0}$  зависит, какая часть двумерной проекции вдоль вертикальной оси будет использована для реконструкции одного слоя. В численном моделировании величина параметра  $\omega_{V_0}$  бралась равной  $1/h_V$ , где  $h_V$  – шаг сетки по переменной  $V$ .

## 2. Сравнение алгоритма фурье-синтеза с алгоритмом Фельдкамп.

2.1. *Оценка времени реконструкции.* Предположим, что имеется  $M$  проекций, на каждой из которых задано  $N \times N$  значений интегралов (1), реконструкция производится на кубической сетке  $N \times N \times N$  узлов, причем  $N$  равно целой степени числа 2. Оценим количество операций, требуемых для полной трехмерной реконструкции методом послойного фурье-синтеза и алгоритмом Фельдкамп.

Для параллелизации проекционных данных в одном слое согласно формулам (4) требуется  $k_1 NM$  операций. (Здесь и далее через  $k$  с индексом обозначаются коэффициенты, не зависящие от  $N$  и  $M$ .) При использовании алгоритма быстрого преобразования Фурье для вычисления фурье-образов  $M$  одномерных проекций нужно  $k_2 MN \log_2 N$  операций. Интерполяция с сетки в полярных координатах на сетку в декартовых координатах требует  $k_3 N^2$  операций. Наконец для обратного двумерного преобразования Фурье необходимо  $2k_2 N^2 \log_2 N$  операций. Просуммировав все эти числа, получим количество операций, которое затрачивается на реконструкцию одного слоя методом фурье-синтеза. Тогда для полного трехмерного восстановления число операций будет

$$N_{FS} = N(k_1 NM + k_2 N \log_2 N (M + 2N) + k_3 N^2). \quad (10)$$



**Сравнение времен реконструкции методом послойного фурье-синтеза  
и алгоритмом Фельдкамп**

$N$	Послойный фурье-синтез, с	Алгоритм Фельдкамп, с	$t_{Fld}/t_{FS}$	$N/\log_2 N$
128	3	22	7,33	18,29
256	32	840	26,25	32,0
512	311	16272	52,32	56,89

Фильтрация набора двумерных проекций согласно формулам (7), (8) требует  $2k_4 MN^2$  операций, а трехмерное обратное проецирование –  $k_5 MN^3$  операций. Таким образом, количество операций, затрачиваемое на реконструкцию алгоритмом Фельдкамп, определяется следующим образом:

$$N_{Fld} = 2k_4 MN^2 + k_5 MN^3. \quad (11)$$

При достаточно больших  $N$  и  $M$  имеет место  $N_{FS} \sim O(MN^2 \log_2 N)$  и  $N_{Fld} \sim O(MN^3)$ . Соответственно метод послойного фурье-синтеза оказывается быстрее классической реализации алгоритма Фельдкамп в  $N_{Fld}/N_{FS} \sim O(N/\log_2 N)$  раз. Отметим, что в работе [9] приводится такая же оценка ускорения реконструкции.

В таблице собраны результаты по быстродействию алгоритмов. Расчеты производились на процессоре AMD Athlon(tm) XP 1800+ с тактовой частотой 1,54 Гц. В первом столбце даны числа  $N$  (вычисления производились при  $M = N$ ). Во втором и третьем столбцах содержится время, затраченное на полную реконструкцию методом послойного фурье-синтеза и алгоритмом Фельдкамп соответственно. Из таблицы видно, что по мере увеличения числа  $N$  отношение времени реконструкции методом фурье-синтеза ко времени реконструкции алгоритмом Фельдкамп приближается к  $N/\log_2 N$ , что свидетельствует о правильности приведенных выше оценок.

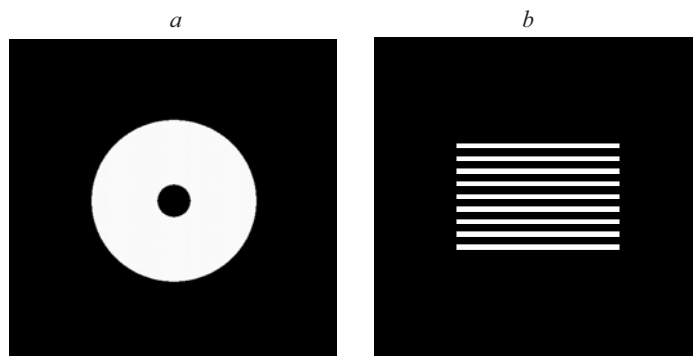


Рис. 3. Изображение сечений математических фантомов плоскостью  $y = 0$



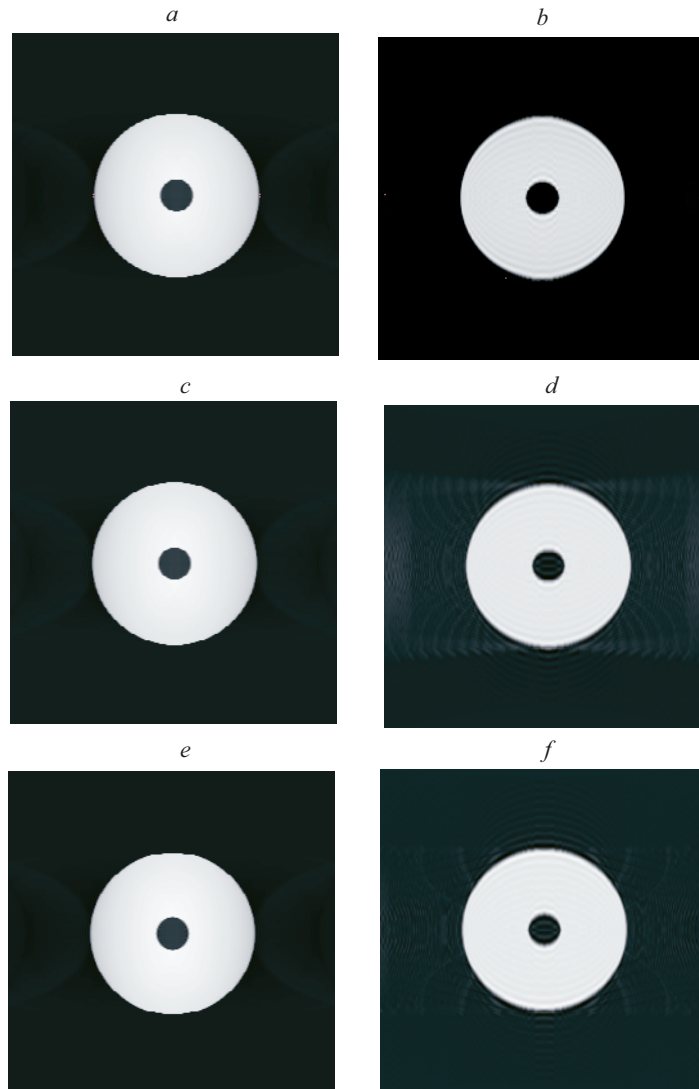


Рис. 4. Сечения реконструированного фантома 1

2.2. *Вычислительный эксперимент.* Алгоритм послойного фурье-синтеза исследовался в процессе вычислительного эксперимента. Использовались два трехмерных математических фантома. Один из них – шар с центром в начале координат (плотность 1,0; радиус 0,5) со сферическим отверстием радиусом 0,1, центр которого также расположен в начале координат (рис. 3, *a*). Далее этот фантом будет называться фантом 1. Второй – фантом 2 – состоит из девяти одинаковых дисков радиусом 0,5, расположенных один над другим вдоль оси  $Z$ , как это показано на рис. 3, *b*. Толщина дисков 0,03125, плотность 1,0, зазор между ними 0,046875. Сечения фантомов 1 и 2 плоскостью  $y = 0$  представлены на рис. 3, *a, b* соответственно.

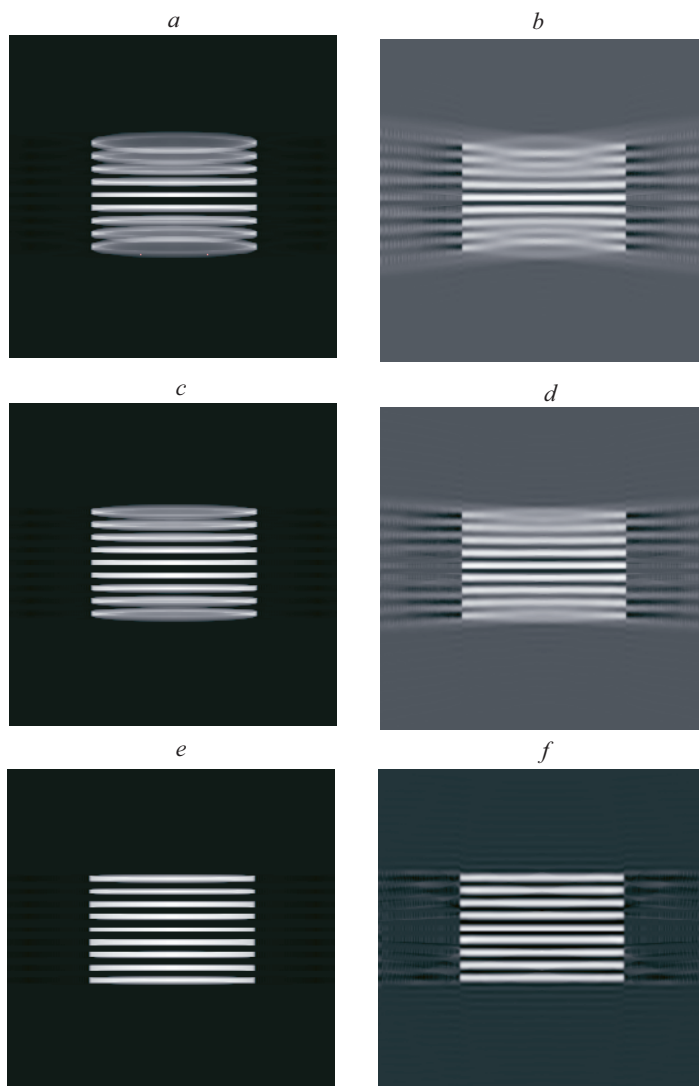


Рис. 5. Сечения реконструированного фантома 2

Расчеты производились на кубической сетке  $256 \times 256 \times 256$  узлов, заданной в кубе с центром в начале координат и длиной ребра, равной 2,0. Проекционные данные моделировались как 360 двумерных конусных проекций, которые были распределены равномерно (через  $1^\circ$ ) по углу  $\varphi$  в интервале от 0 до  $360^\circ$ . Размер детекторов равнялся  $2,0 \times 2,0$ . На каждом из них задавалась сетка  $256 \times 256$  узлов. Расстояние  $r_d$  было фиксированным и равнялось 1,0. В расчетах варьировалось расстояние  $r_s$  от источника до оси  $Z$ , а также уровень шумов в исходных данных. Результаты реконструкции, полученные методом послойного фурье-синтеза и посредством алгоритма Фельдкампта, сравнивались между собой.

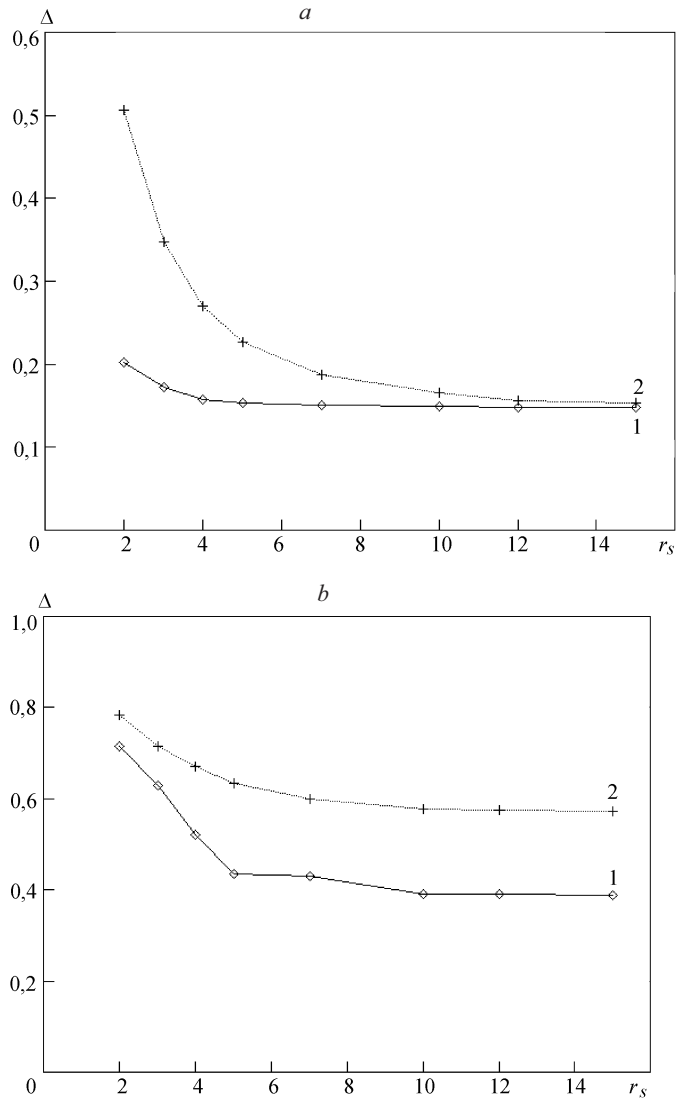


Рис. 6. Зависимости ошибки  $\Delta$  от расстояния  $r_s$

Для контроля точности использовалось нормированное среднеквадратичное отклонение  $\Delta$  между математическим фантомом и восстановленной функцией. Величина  $\Delta$  вычислялась по следующей формуле:

$$\Delta = \frac{\|g_M - g\|}{\|g_M\|}. \quad (12)$$

Здесь  $g_M$  – точная модель (математический фантом);  $g$  – восстановленное решение;  $\|\circ\|$  – евклидова норма в конечномерном векторном пространстве.

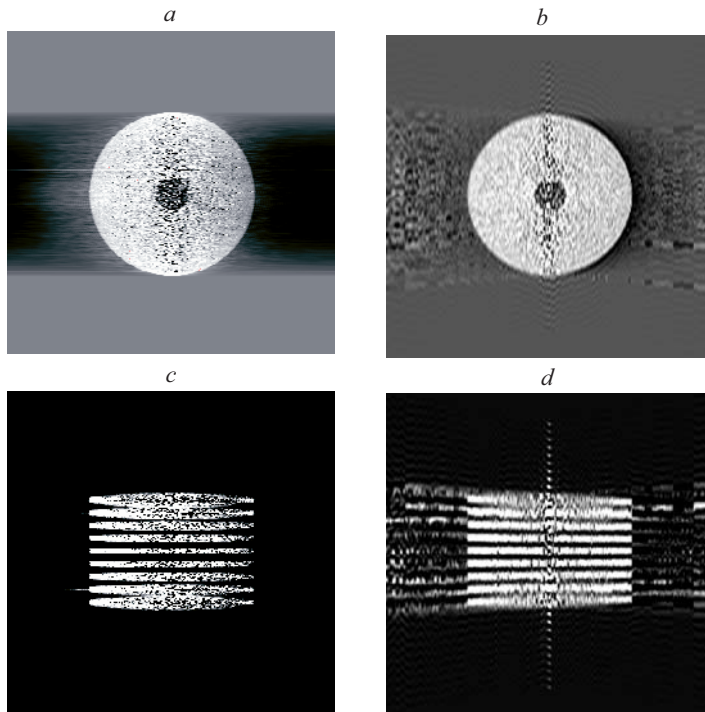


Рис. 7. Сечения реконструированных функций плоскостью  $y = 0$

На рис. 4 показаны сечения функций, полученных в результате реконструкции фантома 1 плоскостью  $y = 0$  при различных расстояниях  $r_s$ . Рис. 4, *a, c, e* иллюстрирует метод послойного фурье-синтеза, а рис. 4, *b, d, f* – алгоритм Фельдкампса. Для рис. 4, *a, b*  $r_s = 3,0$ , для рис. 4, *c, d*  $r_s = 5,0$ , для рис. 4, *e, f*  $r_s = 15,0$ . Число двумерных проекций 360. Аналогичные результаты для фантома 2 приведены на рис. 5. На рис. 6, *a* представлены зависимости ошибки  $\Delta$  от расстояния  $r_s$  для реконструкции фантома 1 и на рис. 6, *b* – фантома 2. Кривые 1 и 2 на рис. 6, *a, b* относятся к методу фурье-синтеза и алгоритму Фельдкампса соответственно. Для всех результатов, приведенных на рис. 4–6, реконструкция производилась по незашумленным данным.

Из рис. 4, 5 видно, что при малых  $r_s$  алгоритм послойного фурье-синтеза обеспечивает лучшее качество реконструкции, чем алгоритм Фельдкампса. Так, например, на рис. 4, *b* отверстие заметно вытянуто вдоль оси  $Z$ , в то время как на рис. 4, *a* этого не наблюдается. Из рис. 5 отчетливо видно, что точность восстановления обоими алгоритмами падает по мере удаления от плоскости  $z = 0$ , однако при увеличении  $r_s$  реконструкция периферийных слоев улучшается. Такое поведение решения является очевидным следствием структуры алгоритмов и данной проекционной геометрии. Из рис. 6 также следует, что решения, полученные методом послойного фурье-синтеза, ближе к точной модели.

Важной характеристикой любого томографического алгоритма является его устойчивость по отношению к случайным шумам. В связи с этим ряд реконструкций был произведен по модельным проекционным данным, искаженным случайными шумами. Шум предполагался гауссовским со сред-

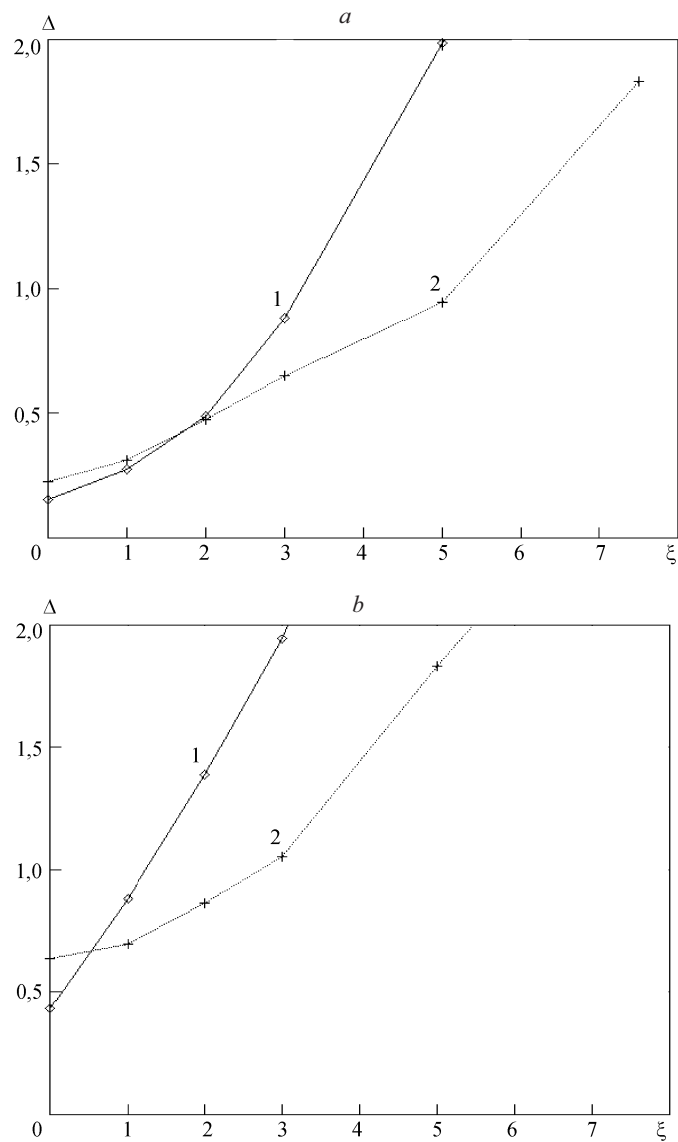


Рис. 8. Зависимости ошибки  $\Delta$  от уровня шумов

ним, равным нулю, и переменной дисперсией, составляющей  $\xi$  процентов от значения проекции в данной точке. На рис. 7 изображены сечения плоскостью  $y=0$  функций, реконструированных по проекционным данным, содержащим случайные шумы с  $\xi=2\%$ . На рис. 7, *a, c* приведены результаты восстановления методом Фурье-синтеза, а на рис. 7, *b, d* – алгоритмом Фельдкамп. На рис. 7, *a, b* и рис. 7, *c, d* показаны фантомы 1 и 2 соответственно. На рис. 8 даны зависимости погрешности реконструкции от уровня шумов. Расстояние до источника  $r_s$  для рис. 7, 8 равно 5,0. Рис. 8, *a* относится к фантому 1, а рис. 8, *b* – к фантому 2. Кривые 1 и 2 на рис. 8, *a, b* соответствуют методу Фурье-синтеза и алгоритму Фельдкамп.

Из рис. 7 можно заключить, что наличие шумов в проекционных данных заметно ухудшает результат реконструкции как методом послойного фурье-синтеза, так и алгоритмом Фельдкамп, поэтому для дальнейшего развития данной работы планируется включение процедур регуляризации в процесс томографической реконструкции. Отметим, что параметры  $\omega_{U_0}$  и  $\omega_{V_0}$  в алгоритме Фельдкамп могут быть использованы для подавления шумов в реконструируемой функции: уменьшение их величины приводит к сглаживанию проекций. Рис. 8 показывает, что метод послойного фурье-синтеза менее устойчив к шумам, чем алгоритм Фельдкамп.

**Заключение.** В работе предложен алгоритм томографической реконструкции по проекционным данным, полученным при движении источника по окружности. Он основан на принципе послойной реконструкции, причем для восстановления каждого слоя используется метод фурье-синтеза. Такая структура алгоритма позволяет существенно сократить время компьютерного счета и использовать при этом небольшой объем оперативной памяти.

Предлагаемый алгоритм был исследован в процессе численного моделирования, при этом производилось его сравнение с алгоритмом Фельдкамп. Получены следующие результаты.

1. Реконструкция методом послойного фурье-синтеза происходит значительно быстрее, чем алгоритмом Фельдкамп в классической реализации. В целом подтверждена справедливость оценки  $t_{Fid}/t_{FS} \sim N/\log_2 N$ .

2. В случае относительно небольшого радиуса окружности, по которой движется источник, метод послойного фурье-синтеза обеспечивает лучшую точность восстановления, чем алгоритм Фельдкамп.

3. Алгоритм Фельдкамп оказался более устойчивым к шумам в проекционных данных.

Автор выражает благодарность О. Е. Трофимову за обсуждение работы и полезные замечания.

#### СПИСОК ЛИТЕРАТУРЫ

1. **Herman G. T.** Image Reconstruction from Projections: The Fundamentals of Computerized Tomography. N. Y.: Academic Press, 1980.
2. **Natterer F.** The Mathematics of Computerized Tomography. N. Y.: John Willey & Sons, 1986.
3. **Лаврентьев М. М., Зеркаль С. М., Трофимов О. Е.** Численное моделирование в томографии и условно-корректные задачи. Новосибирск: Изд-во ИДМИ НГУ, 1999.
4. **Tuy H. K.** An inversion formula for cone-beam reconstruction // SIAM Journ. Appl. Math. 1983. **43**, N 3. P. 546.
5. **Smith B. D.** Cone-beam tomography: recent advances and tutorial review // Journ. Opt. Eng. 1990. **29**, N 5. P. 524.
6. **Grangeat P.** Mathematical framework of cone-beam 3D-reconstruction via the first derivative of the Radon transform // Proc. of a Conf. on Mathematical Methods in Tomography. Oberwolfach, Germany. 1990. P. 66.
7. **Trofimov O.** About one form of inversion formula for cone-beam tomography // Proc. SPIE. 2001. **4188**. P. 111.
8. **Feldkamp L. A., Davis L. C., Kress J. W.** Practical cone-beam algorithm // Journ. Opt. Soc. Amer. A. 1984. **1**, N 6. P. 612.

9. **Xiao S., Bresler Y., Munson D. C. Jr.** Fast Feldkamp algorithm for cone-beam computer tomography // ICIP. 2003. **2**. P. 819.
10. **Gregor J., Gleason S. S., Paulus M. J., Cates J.** Fast Feldkamp reconstruction based on focus of attention and distributed computing // IJIST. 2002. **12**, N 6. P. 229.
11. **Shih A., Wang G., Cheng P. C.** Fast algorithm for X-ray cone-beam microtomography // Microsc. Microanal. 2001. **7**, N 1. P. 13.
12. **Likhachov A. V., Pickalov V. V.** Modification of Feldkamp algorithm for bifocal tomography // Proc. IASTED Intern. Conf. Anaheim: ACTA Press, 2002. P. 474.
13. **Кириллов А. А.** Об одной проблеме И. М. Гельфанда // ДАН СССР. 1961. **137**, № 2. С. 276.
14. **Shepp L. A., Logan B. F.** The Fourier reconstruction of a head section // IEEE Trans. Nucl. Sci. 1974. **21**, N 3. P. 21.

*Институт автоматизации и электрометрии СО РАН,  
E-mail: ipm1@iae.nsk.su*

*Поступила в редакцию  
7 июня 2005 г.*